20.340.40.6 000 9 РЕПРЕЗПРЕМЕНТ ОБИТЕТ В ВЕТОВИТЕТ В ВЕТОВИТЕТ В В ВЕТОВИТЕТ В В ВЕТОВИТЕТ В В В В ВЕТОВИТЕТ В В ВЕТО

Зра-dwp., ръ. и мъръб. армитр. VII, № 4, 1954 Физ-мат., естеств. и техн. науки

ФИЗИК А

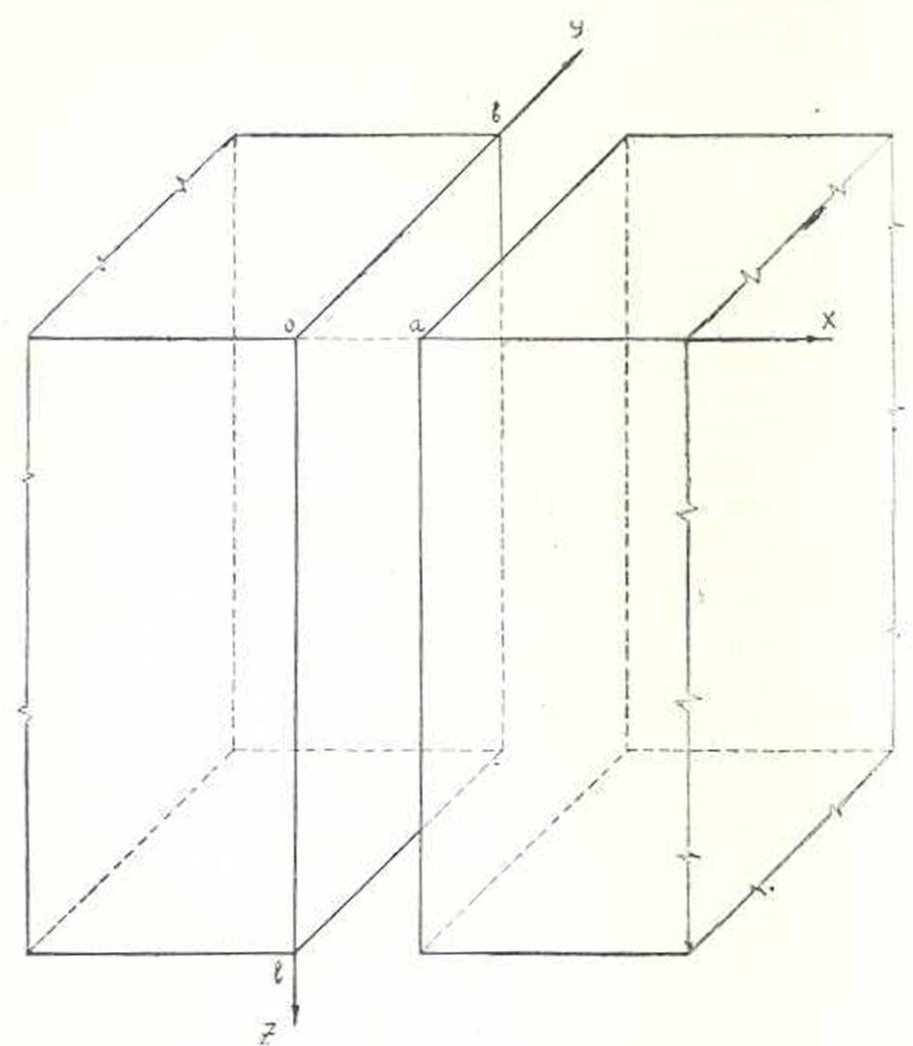
Г. С. Саакян

О светосиле магнитного спектрометра

Магнитный сцектрометр Алиханяна — Алиханова является одним из удобных приборов для измерения абсолютных интенсивностей различных компонент космического излучения, как функций импульсов частиц, составляющих эти компоненты. Однако не все частицы, падающие на установку, обязательно регистрируются. По ряду причии, вероктность регистрации частии меньше единицы. Установка вносит искажения и получаемая в эксперименте картина не всегда правильно отражен существующее положение в природе. Величина этой вероятности ивляется функцией геометрических параметров установки, папряженности магнитного поля, направления и величины импульса частиц, падающих на прибор, и физических свойств регистрирующей системы. Таким образом, интенсивности потока частиц космического излучения, шаблюденные в экспериментах с магнитным спектрометром, всегда меньше истиных интенсивностей. Из сказанного следует, что будут вскажаться также и импульсные спектры частиц.

Целью настоящей работы является вычисление истинных интенсивностей и спектров частиц по наблюденным, т. е. вычисление вероятности регистрации заряженных частиц, падающих на установку магилиного спектрометра. Часть затровутых здесь вопросов рассмотрена в работе [1]. Здесь дается другой подход к решению этих вопросов, а также получены новые формулы, не содержащиеся в цитированной работе.

1. Дифференциальная вероятность регистрации. На фиг. 1 приведено схематическое изображение основной части магнитного спектрометра. Выберем систему координат с илоскостью YOZ, совнадающей с поверхностью левого полюса магнита, и направлениями осейтак, как это показано на фигуре. Пусть а, в и 1—размеры поля соответственно по осям X, Y и Z. Точнее, а—расстояние между рядами "торцовых" счетчиков, расположенных на полюсах магнита с осями счетчиков, параллельных оси Y. Эти счетчики предназначены для исключения случаев рассеяния частиц на полюсах магнита; 1—расстояние между верхними и инжними координатиыми рядами счетчиков, оси которых параллельны силовым линиям поля, т.е. направлению X. Счетчики верхнего ряда расположены у верхней границы поля и отмечают координаты частицы при ее входе в поле, а счетчики нижнего ряда расположены на нижней границе поля и отмечают



Фиг. 1. Магнит и выбор системы координат,

координаты частицы в момент ее выхода из поля. Для определения траектории частицы в магнитном поле, кроме указанных рядов, имеется еще один или два горизонтальных ряда счетчиков, расположенных в самом магнитном поле. Наконец, b—ширина этих координатных рядов счетчиков, задающих размер поля по оси Y.

Траектория заряженной частицы в магнитном поле определяется уравнениями движения

$$x'' = 0, \quad y'' = \omega z', \quad z'' = \omega \dot{y}'.$$
 (1)

где $\omega = \frac{ecH}{F}$, е и Е— заряд и полная энергия частицы, с— скорость

света и H—напряженность магнятного подя, которое предполагается однородным ($H_x = H$, $H_y = H_z = 0$). Пусть начальные условия таковы, что при t = 0 частица находилась в точке x_0 , y_0 и z_0 и имела ком-

поненты скорости v_x , v_y , v_z . Решения уравнений (1) с указанными начальными условиями суть

$$y = y_0 + R [\cos \alpha - \cos (\omega t + \alpha)],$$

$$z = R [\sin (\omega t + \alpha) - \sin \alpha],$$

$$x = x_0 + v_x \cdot t,$$
(2)

где $R = \frac{1}{\omega} \sqrt{v_y^2 + v_z^2} = \frac{1}{eH} \sqrt{p_y^2 + p_z^2}$ — радиус кривизны граектории частиц в магнитном поле, p_x , p_y и p_z — компоненты импульса частиц при t = 0,

$$\alpha = \arcsin \frac{p_y}{\sqrt{p_y^2 + p_z^2}}.$$
 (3)

Под импульсом частицы здесь подразуменается обычный импульс, умноженный на скорость света.

Из уравнений (2), исключая время, находим

$$x = x_0 + \frac{p_x}{eH} \left[\arcsin\left(\sin\alpha + \frac{z}{R}\right) - \alpha \right],$$

$$y = y_0 - R \left[\sqrt{1 - \left(\sin\alpha + \frac{z}{R}\right)^2 - \cos\alpha} \right],$$

$$t = \frac{1}{\omega} \left[\arcsin\left(\sin\alpha + \frac{z}{R}\right) - \alpha \right].$$
(4)

Для простоты рассмотрим частицы определенного заряда, а именно такие, которые в магнитном поле вращаются против часовой стрелы, если смотреть вдоль положительного направления оси X. Это будет иметь место для частиц положительного заряда, так что $\omega = \frac{\text{ecH}}{F} > 0$.

Так как вероятность регистрации частиц не зависит от знака их заряда, то полученные формулы в равной мере будут относиться и к частицам противоположного заряда, которые в магнитном поле врашаются по часовой стрелке.

Пока предположим, что частицы, падающие на каждый ряд координатных счетчиков, регистрируются с вероятностью достоверного события. Тогда нахождение вероятности регистрации сводится к вычаслению вероятности события одновременного прохождения заряженных частиц через ряды координатных счетчиков, расположенных соответственно на плоскостях z=0 (верхняя граница поля) и z=t (нижняя граница поля). Здесь мы имеем дело с двумя независимыми событиями. Первое из них состоит в незадевании частицы полюсов магнита или, точнее, горцовых счетчиков. Вероятность этого события обозначим w_1 и будем называть вероятностью регистрации по оси X. Второе событие состоит в том, чтобы частица при ее движении от

илоскости z=0 к плоскости z=l не выходила из поля. Вероятность этого события обозначим w_2 и будем называть вероятностью регистрации по оси Y. Таким образом, вероятность регистрации частим равна произведению $w_1 \cdot w_2$, и задача сводится к вычислению функции w_1 и w_2 .

Как уже говорилось, одним из необходимых условий регистрации частицы является ее незадевание полюсов магнита. Это условы однозначно выражается неравенствами

$$0 \leqslant x_0 \leqslant a + 0 \leqslant x(\tau) \leqslant a,$$
 (5)

где х(т)-координата частицы при выходе из подя

$$x(\tau) = x_0 + v_x \tau,$$

а т-время пролета частицы через поле

$$\tau = \frac{1}{\omega} \left[\arcsin \left(\sin \alpha + \frac{l}{R} \right) - \alpha \right] =$$

$$= \frac{1}{\omega} \arcsin \frac{p_z \left(p_y + eHl_1 - p_y \right) \left(p_z^2 - 2eHl_p_y - e^2H^{\frac{1}{2}/2} \right)}{p_y^2 + p_z^2}.$$
 (6)

В магнитных спектрометрах, применяемых в экспериментах с космическими дучами, расстояние a между полюсами обычно значетельно меньше высоты I полюсов магнита. Поэтому для всех регистрируемых частиц $p_z^2 \ll p_y^2 + p_z^2$ и, следовательно, $p_y^2 + p_z^2 \approx p^2$. При выповнении этого условия формуду (6) можно переписать так:

$$\tau = \frac{1}{\omega} \arcsin \frac{p_z (p_y + eHl) - p_y \sqrt{p^2 - (p_y + eHl)^2}}{p^2}.$$
 (6)

При $v_x > 0$ из требования одновременного выполнения услови (5) следует

$$0 \leqslant \mathbf{x}_0 \leqslant \mathbf{a} - \mathbf{v}_x \, \mathbf{\tau} \geqslant 0$$
,

При v_x < 0 на (5) следует

$$| v_x | \tau \leqslant x_0 \leqslant a, \tag{7}$$

Таким образом, чтобы частица при движении нигде не задевал полюса магнита, необходимо и достаточно, чтобы координата x_0 удовлетворяла неравенствам (7) и (7'). Эти ограничения утверждают одю и то же, а именно, что от всей длины a верхиего ряда счетчико эффективна в смысле регистрации частиц только ее часть, равна $a-|v_x|$ - τ . При попадании частиц на остальную часть длины счетчеков, равную $|v_x|$ - τ , они ударяются о полюса магнита, не доходя до нижнего ряда координатных счетчиков, и поэтому не регистрируются установкой. Таким образом, вероятность регистрации w_1 по направле

иню оси х равна отношению эффективной длины счетчиков $a-v_x$ | τ ж их полной длине a

$$\mathbf{w}_1 = 1 - \frac{c\tau |\mathbf{p}_x|}{aE} \tag{8}$$

Отсюда видно, что для регистрируемых частиц р_к может измежиться в пределах

$$-\frac{aE}{c\tau} \ll p_x \ll \frac{aE}{c\tau}.$$
 (9)

Перейдем к рассмотрению условий регистрации частиц в илоскости YOZ. На фиг. 2 изображены типичные траектории частиц в магнитном поле, вращающихся против часовой стрелки. У всех кривых радиус кривизны один и тот же. В случаях δ) и s) координата y, при значениях z, находящихся в интервале $0 \le z \le l$, имеет минимум (для частиц обратного знака заряда, наоборот, y имеет максимум). В случае δ) минимум координаты y имеет место при $\frac{l}{s} \le z \le l$, а в случае

#)—при $0 \leqslant z \leqslant \frac{1}{2} l$. В случае a) частица падает на установку справа

от вертикали и с возрастанием z координата у монотонно убывает. Наконец, в случае г) частица падает на установку слева от вертикали и с возрастанием z координата у монотонно растет. Во всех этих случаях рассматривается поток частиц с параллельными проекциями траекторий на плоскость YOZ.

В случае б) от всей ширины координатного ряда счетчиков ОА работает лишь отрезок ЕА, который равен минимальному значению у для проекции траектории, проходящей через точку А с координатами у=b, z=0. Для уравнения проекции этой кривой из (4) имеем

$$y = b - R \left[\sqrt{1 - \left(\sin \alpha + \frac{z}{R} \right)^{\alpha} - \cos \alpha} \right].$$

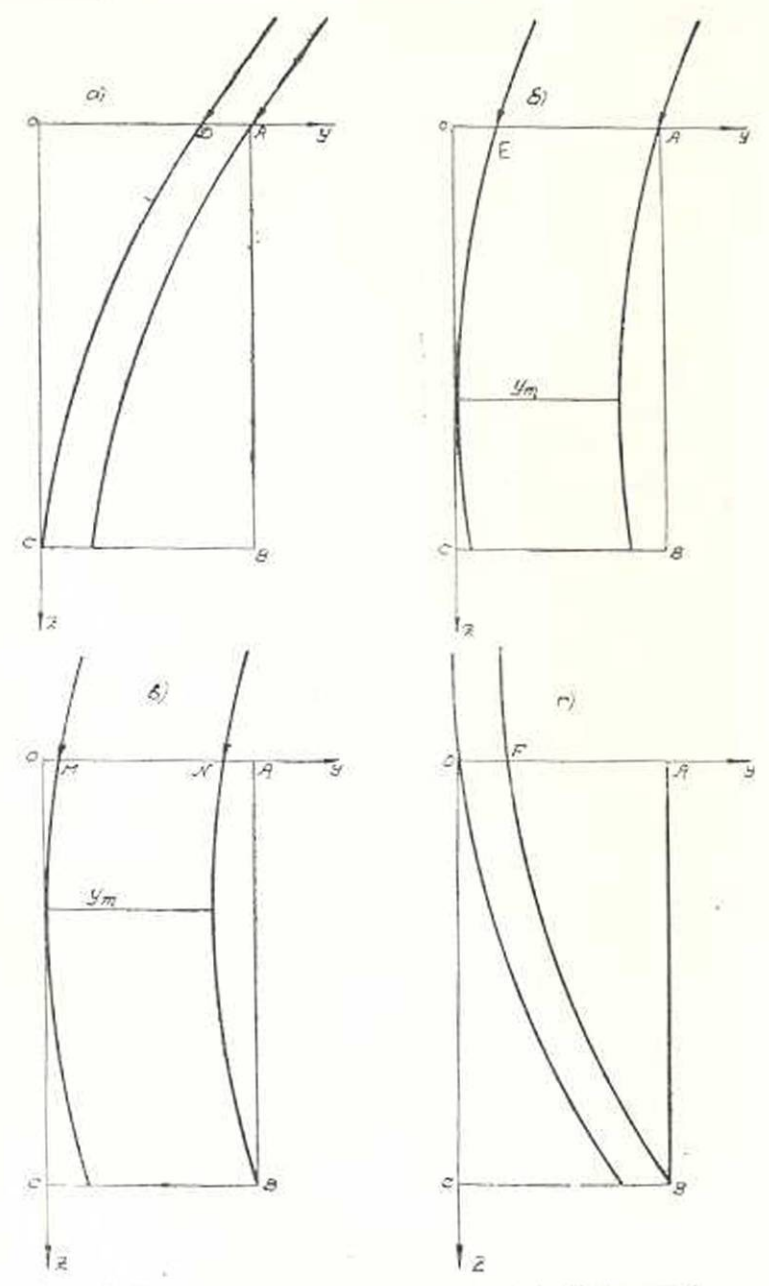
Отсюда находим, что при значениях г, равных

$$z_m = -R \sin \alpha = -\frac{p_y}{eH}. \tag{10}$$

у имеет минимум, разный $y_m = b - R(1-\cos\alpha)$. Частицы, палающие на отрезок ОЕ, не будут регистрироваться, поэтому отношение y_m —ЕА к полной ширине ОА = b есть вероятность регистрации w_a для рассматриваемых типов траекторий частиц

$$\mathbf{w_1} = 1 - \frac{\mathbf{R}}{\mathbf{b}} (1 - \cos \hat{\mathbf{z}}) \approx 1 - \frac{\mathbf{p} - \mathbf{p_z}}{\mathbf{e}H\mathbf{b}}$$

Эта формула верна только для тех случаев, когда $\frac{l}{2} \ll z_m \ll l$, что вместе с (10) дает



Фиг. 2. Типичные проекции траекторий на плоскость YOZ для регистрируемых частиц.

$$-elH \leq p_y \leq -\frac{1}{2}elH.$$
 (12)

Итак, вероятность w₂ в области значений р_у, указанной в (12), выражается формулой (11).

Для дальнейшего необходимо определить также область допусти-

мых значений ру при заданном импульсе р. Однако мы предпочитаем этот вопрос рассмотреть после изучения всех четырех случаев,

В случае a) от всего пучка параллельных частиц, падающих на весь ряд счетчиков, установка выделяет и регистрирует только его часть, охватывающую отрезок DA, тогда как частицы, падающие на отрезок OD, не регистрируются. Длина отрезка DA равна разности координат проекций траекторий частиц на плоскость YOZ, проходящих через точки A(y=b, z=0) и C(y=0, z=l). Из (4) находим

$$\begin{aligned} \mathsf{D}\mathsf{A} &= \mathsf{b} - \mathsf{R} \bigg[\sqrt{1 - \left(\sin \alpha + \frac{l}{\mathsf{R}} \right)^2 - \cos \alpha} \bigg] = \\ &= \mathsf{b} - \frac{1}{\mathsf{e}\mathsf{H}} \bigg[\sqrt{\mathsf{p}_z^2 - 2\mathsf{e}\mathsf{H} l \mathsf{p}_y - \mathsf{e}^2 \mathsf{H}^2 l^2} - \mathsf{p}_z \bigg] \cdot \end{aligned}$$

Отношение длины отрезков DA и OA дает вероятность w₂ для рассматриваемых типов траекторий частиц.

$$w_{2} = 1 - \frac{V p_{z}^{2} - 2eHlp_{y} - e^{2}H^{2}l^{2} - p_{z}}{eHb} \approx 1 - \frac{V p^{2} - (p_{y} + eHl)^{2} - p_{z}}{eHb}, (13)$$

Чтобы найти область применения полученной формулы, предсташи, что однородное поле запимает все полупространство ниже плоскости z=b. Тогда в рассматриваемом случае у имел бы минимум при $z_m = -\frac{p_T}{aH} > l$. Следовательно, формула (13) верна лишь при

$$p_v \leq -elH$$
.

Компонента импульса p_y сиизу также ограничена. Ее нижняя граница определяется из требования $w_2 > 0$, которое дает $p_y > -0.5e/H$ — γ , гле

$$\gamma = b \sqrt{\frac{F^2}{I^2 + b^2} - \frac{1}{4} e^2 H^2}, \tag{14}$$

При получении этого условня предполагалось V рў+р2≈р. Таким образом, область допустимых значений р_у в формуле (13) определяется неравенством

$$-0.5 \, \text{eH}l - \gamma \leq p_v \leq - \, \text{eH}l. \tag{15}$$

В случае в) для всего пучка частиц, падающих на первый ряд координатных счетчиков под заданным углом α , от всей ширины ОА этого ряда действует только часть ее, а именно отрезок МN. Длина этого отрезка равна минимальному значению y, принадлежащему проекции траектории, проходящей через точку B(y=b,z=l). Для этой кривой из (4) имеем

$$y = b + R \left[\sqrt{1 - \left(\sin \alpha + \frac{l}{R} \right)^2} - \sqrt{1 - \left(\sin \alpha + \frac{z}{R} \right)^2} \right].$$

Отсюда получаем, что при

$$z_m = -R\sin\alpha = -\frac{p_y}{eH} \tag{10}$$

y имеет минимум, равный $y_m = b - R \left[1 - \sqrt{1 - \left(\sin \alpha + \frac{l}{R} \right)^2} \right]$. Отношение $y_m = MN$ и АО дает вероятность w_2

$$w_2 = 1 - \frac{p - V p^2 - (p_y + eHl)^2}{eHb}.$$
 (16)

Эта формула относится к случаям, когда $0 \ll z_m \ll \frac{1}{2} l$, поэтому она верна лишь для p_y , принадлежащих к области

$$-0.5 \text{ eH} l \leqslant p_y \leqslant 0. \tag{17}$$

В случае z) регистрируются только частицы, падающие на отрезок ОF, длина которого равна разности координат y, принадлежащих траскториям частиц, проходящих через точки с координатами y = b, z = l и y = z = 0. Из (4) получаем:

OF = b - R
$$\left[\cos \alpha - \sqrt{1 - \left(\sin \alpha + \frac{l}{R}\right)^2}\right]$$

Отсюда вероятность we для рассматриваемых типов траекторий равна

$$w_{z} = 1 - \frac{R}{b} \left[\cos \alpha - \sqrt{1 - \left(\sin \alpha + \frac{I}{R} \right)^{2}} \right] \approx 1 - \frac{p_{z} - \sqrt{\tilde{p}^{2} - (p_{y} + eH\bar{I})^{2}}}{eHb}.$$
 (18)

Случай г) получается из в) непрерывным возрастанием угла z= arc sin $\frac{p_y}{1-p_y^2+p_z^2}$, поэтому, имея в виду (17), приходим к заключению, что формула (18) относится к случаям $p_y>0$. Верхняя граница, допустимых значений p_y определяется из условия $w_y>0$, которое двет $p_y \ll -0.5eH+\gamma$. Следовательно, формула (18) относится к значениям p_y , находящимся в интервале

$$0 \le p_{\gamma} \le -0.5 \text{ ell } l + \gamma. \tag{19}$$

Итак, сопоставляя все четыре случая и учитывая формулы (15) и (19), приходим к заключению, что при импульсах р $> eH \frac{b^2 + l^3}{2b}$ для регистрируемых частиц допустимые значения ру находятся в интервале

$$-0.5 \text{ eH} l - \gamma \leqslant \rho_{\text{y}} \leqslant -0.5 \text{ eH} l + \gamma, \tag{20}$$

причем в разных интервалах значений ру, указанных в (15), (12), (17)

и (19), вероятность w_2 выражается соответственно формулами (13), (11), (16) и (18), которые при переходе из одного интервала к другому плавно переходят одна в другую. Наоборот, при импульсах $p \approx eH \frac{b^2 + l^2}{2b}$ встречаются только случаи δ) и δ). Тогда область до-

пустимых значений p_y при заданном р определяется из условия $y_m>0$ (т. е. $w_2>0$), смысл которого становится, ясным, если мы обратимся к фиг. 2 и рассмотрим предельные траектории с $y_m=0$. Применение этого условия к случаю δ) дает

$$p_y \gg -$$
 elib $\sqrt{\frac{2p}{\text{elib}}} - 1$,

а в случае в) оно дает

$$p_y \leqslant - \, eHI + eHb \, \sqrt{\frac{2p}{eHb} - 1}.$$

Таким образом, при импульсах $p \ll eH \frac{b^2 + l^2}{2b}$ проекция импульса

Ру для регистрированных частиц может находиться в интервале

причем в интервале

$$-$$
 eHb $\sqrt{\frac{2p}{eHb}-1} \leqslant p_y \leqslant -\frac{1}{2}$ eH l

вероятность w2 выражается формулой (11), а в интервале

$$-\frac{1}{2} eHl \leqslant p_y \leqslant -eHl + eHb \sqrt{\frac{2p}{eHb} - 1}$$

формулой (16).

При импульсах инже определенного минимального p_{min} траектории частиц искривляются в магнитном поле настолько сильно, что частицы выходят из поля, не успев дойти до нижнего ряда координатных счетчиков. Этот импульс соответствует проекции траектории частицы, проходящей через точки А и В и касающейся оси Z в точке y=0, z=0.5 I (см. фиг. 2). Однако ведичина p_{min} проще всего получается из (21), если в нем пирину области изменений переменной p_y устремить к нулю. Итак, приравнивая выражения, стоящие в обенх частях перавенства (21), получим

$$p_{un} = 0.5eHI\left(\frac{I}{4b} + \frac{b}{I}\right). \tag{22}$$

Следовательно, частицы с импульсами р≪р_{шіп} вообще не могуг регистрироваться установкой.

Теперь мы можем определить вероятность регистрации частиц w. Она равна произведению вероятностей w, и w,,

$$w = w_1 \cdot w_2. \tag{23}$$

w является дифференциальной вероятностью регистрации частиц, так как она относится к заданному направлению движения частиц и заданному значению импульса р.

Произведение величин вероятности w и илощади $a \cdot b$ координатного ряда счетчиков называется светосилой магнитного спектрометра

$$s = abw.$$
 (23')

При больших импульсах частиц, когда выполняется условие

$$p_z \gg eHl$$
, (24)

влиянием магнитного поля на движение заряженных частиц можно пренебречь и тогда формула (23) примет простой вид

$$\mathbf{w} = \left(1 - \frac{l}{a} \cdot \frac{|\mathbf{p}_x|}{|\mathbf{p}_x|}\right) \left(1 - \frac{l}{b} \cdot \frac{|\mathbf{p}_y|}{|\mathbf{p}_x|}\right). \tag{25}$$

Здесь первый множитель получен из (8), а второй—из (18) или из (13) путем предельного перехода ∞ →0. Формуда (25) одновременно представляет собою вероятность регистрации для незаряженных частиц, если счетчики Гейгера—Мюллера заменены соответствующими счетчиками, регистрирующими нейтральные частицы.

2. Определение импульсного спектро и углового распределения частиц. Знание вероятности (23) позволяет определить истинное распределение частиц по их импульсам и направлениям движения по наблюденному в эксперименте распределению. Пусть f (p, 0, φ) dp sin 0 d0 dφ есть истинное распределение частиц по их импульсам и направлениям движения, а F(p, 0, φ) dp sin 0 d 0 d φ — то же самое наблюденное на опыте; тогда имеем

$$f(p, \theta, \varphi) := \frac{F(p, \theta, \varphi)}{w(p, \theta, \varphi)}, \qquad (26)$$

где θ и ϕ —зенятный и азимутальный углы, а $w(p, \theta, \phi)$ —вероятность (23), выраженная в сферических координатах $p_x = p \sin \theta \cos \phi$, $p_y = p \sin \theta \sin \phi$ и $p_z = p \cos \theta$.

Интегрируя (27) по всем дозводенным направлениям движения частиц, находим импульсный спектр частиц

$$N(p) dp = dp \int_{\Omega(p)} \frac{F(p, \theta, \phi)}{w(p, \theta, \phi)} \sin \theta d\theta d\phi, \qquad (27)$$

где $\Omega(p)$ —телесный угол пучка частиц, доступных к регистрации. Из (9), (20) и (21) непосредственно следует, что этот телесный угол является функцией импульса частиц. При импульсе $p=p_{\min}$, где p_{\min} определяется формулой (22), телесный угол пучка частиц, которые могут попасть в прибор, равен нулю: $\Omega(p_{\min})=0$. С возрастанием импульса частиц $\Omega(p)$ растет и при p>eHl, когда влиянием магнитного поля на движение частиц можно пренебречь, телесный угол достигает своего максимального значения, равного при $a\ll l$

$$\Omega_0 \approx \frac{2a(\sqrt{b^2 + l^2} - l)}{bl} \tag{28}$$

[см. формулу (37)].

Если нас интересует не импульсный спектр частиц, а угловое распределение потока этих частиц с импульсами больше заданного р, то (26) нужно интегрировать по р

$$\Phi_{p}(\theta, \phi) = \int_{p}^{\infty} \frac{F(p, \theta, \phi)}{w(p, \theta, \phi)} dp.$$
 (29)

3. Полная вероятность регистрации частиц. Если магнитный свектрометр приспособлен для измерения импульсного спектра вертивального потока заряженных частиц (что достигается выбором размеров поля а и b, в несколько раз меньшими по сравнению с высотою полю. сов 1), то представляет интерес не дифференциальная вероятность (23), а полвая вероятность регистрации частиц с заданным абсолютным значением импульса р. Для этой вероятности введем обозначение wu (р) Лалее, пусть для заданного р угловое распределение частиц, надаю**ших на установку, описывается функцией** f(p, b, φ). Предположим, что эта функция нормирована к единице, т. е. f(p, 0, φ) sin 0d0dz есть вероятность движения частицы с импульсом р внутри элемента телесного угла sin ваваф. С другой стороны, частица, движущаяся в заданном направлении, регистрируется с вероятностью w(p, 6, \u03c4), определяемой формулой (23). Итак, вероятность того, что частица будет двигаться внутри элемента телесного угла sin вовоф и будет регистрироваться, равна

$$dw(p, \theta, \varphi) = w(p, \theta, \varphi) f(p, \theta, \varphi) \sin \theta d\theta d\varphi. \tag{30}$$

Интегрируя (30) по телесному углу $\Omega(p)$, т. е. по всем дозволенным выправлениям регистрации частиц, находим полную вероятность ре-

гистрации
$$w_n\left(p\right) = \iint\limits_{\mathbb{R}(p)} w\left(p,\theta,\varphi\right) f(p,\theta,\varphi) \sin\theta d\theta d\varphi$$
. Следует отметить,

что в случае $a\ll l$ и $b\ll l$ телесный угол $\Omega(p)$ мал, вследствие чего функция $f(p,\theta,\varphi)$ внутри этой области интегрирования практически не выменяется и может быть принята за постоянную. Наоборот, $w(p,\theta,\varphi)$ внутри области интегрирования $\Omega(p)$ изменяется в пределах от нуля 10 единицы, т. е. быстро.

Masecras VII, № 4-5

В целях удобства интегрирования от угловых координат θ и ϕ перейдем к переменным p_x и p_y (абсолютное значение импульса считается заданным).

Итак, произведя в (30) замену переменных $p_x = p \sin \theta \cos \phi$ н $p_y = p \sin \theta \sin \phi$, получаем

$$dw(p, p_x, p_y) = w(p, p_x, p_y) F(p, p_x, p_y) \frac{dp_x dp_y}{p \sqrt{p^2 - p_x^2 - p_y^2}}$$

где $F(p, p_x, p_y)$ — функция углового распределения $I(p, h, \varphi)$ в новых переменных. Полная вероятность регистрации для частиц заданного импульса р равна

$$w_{n} = \frac{1}{\rho} \int_{p_{y}}^{p_{y}} dp_{y} \int_{p_{x}}^{p_{x}} \frac{w_{1}(p, p_{x}, p_{y}) w_{2}(p, p_{x}, p_{y}) F(p, p_{x}, p_{y})}{V p^{2} - p_{x}^{2} - p_{y}^{2}} dp_{x}, \quad (31)$$

где вероятность w по формуле (23) заменена через $\mathbf{w}_1 \cdot \mathbf{w}_2$. Выясним пределы интегрирования. Сначала рассмотрим интегрирование по $\mathbf{p}_{\mathbf{x}}$. Из (9) имеем $\mathbf{p}_{\mathbf{x}}^* = -\mathbf{p}_{\mathbf{x}}^* = \mathbf{\beta}$, где $\mathbf{\beta}$ —максимально допустимое значение переменной $\mathbf{p}_{\mathbf{x}}$. Оно определяется из трансцендентного уравнения

$$β$$
 arc sin $\frac{(p_y + eHl) V p^2 - p^2 - p_y - p_y V p^2 - (p_y + eHl)^2}{p^2}$ eaH. (32)

Это уравнение испосредственно вытекает из (6) и (9). При $a \ll t$ величиною β в аргументе атс sin можно будет пренебречь, и вопрос нахождения неизвестной β упрощается.

Перейдем к определению пределов интегрирования по p_y . При $p\gg eH\frac{b^2+\ell^2}{2b}$, согласно (20), имеем

$$p_{y} = -0.5 \text{ eH}l - \gamma, \quad p_{y} = -0.5 \text{ eH}l + \gamma,$$
 (33)

где γ определяется формулой (14). В этом случае необходимо отличить четыре области значений p_y , а именно: $-0.5 \text{ eH} l - \gamma \leq p_y \leq -0.5 \text{ eH} l$, $-0.5 \text{ eH} l \leq p_y \leq 0$ и $0 \leq p_y \leq -0.5 \text{ eH} l + \gamma$, в которых вероятность w_2 соответственно выражается формулами (11), (13), (16) и (18). Наоборот, при $p \leq eH \frac{b^2 + l^2}{2b}$ вероятность w_2 определяется только формулами (11) и (16). Тогда интервал возможных значений p_y определяется формулой (21), согласно

$$p_y' = -eHb \sqrt{\frac{2p}{eHb} - 1}, \quad p_y' = -eHl + eHb \sqrt{\frac{2p}{eHb} - 1}, \quad (34)$$

причем в области

которой

$$-$$
 eH b $\sqrt{\frac{2p}{eHb}-1}$ ≤ p_y ≤ -0.5 eH I

вероятность w2 определяется формулой (11), а в области

$$-0.5\,\mathrm{eH}l \leqslant \mathrm{p_y} \leqslant -\mathrm{eH}l + \mathrm{eHb}\sqrt{\frac{2\mathrm{p}}{\mathrm{eHb}}-1}$$

она определяется формулой (16).

При больших импульсах частиц $p_z \gg eHl$, согласно (25), полная вероятность w_n равна

$$\mathbf{w}_{n} = \frac{4}{p} \int_{0}^{\mathbf{p}_{y}^{(m)}} d\mathbf{p}_{y} \int_{0}^{\mathbf{p}_{x}^{(m)}} \left(1 - \frac{l \mathbf{p}_{x}}{a \sqrt{\mathbf{p}^{2} - \mathbf{p}_{x}^{2} - \mathbf{p}_{y}^{2}}}\right) \left(1 - \frac{l \mathbf{p}_{y}}{b \sqrt{\mathbf{p}^{2} - \mathbf{p}_{x}^{2} - \mathbf{p}_{y}^{2}}}\right) \times \frac{F(\mathbf{p}, \mathbf{p}_{x}, \mathbf{p}_{y}) d\mathbf{p}_{x}}{\sqrt{\mathbf{p}^{2} - \mathbf{p}_{x}^{2} - \mathbf{p}_{y}^{2}}},$$
(35)

где пределы интегрирования равны

$$p_{x}^{(m)} = a \sqrt{\frac{p^{2} - p_{y}^{2}}{a^{2} + l^{2}}} \approx \frac{a}{l} V \overline{p^{2} - p_{y}^{2}},$$

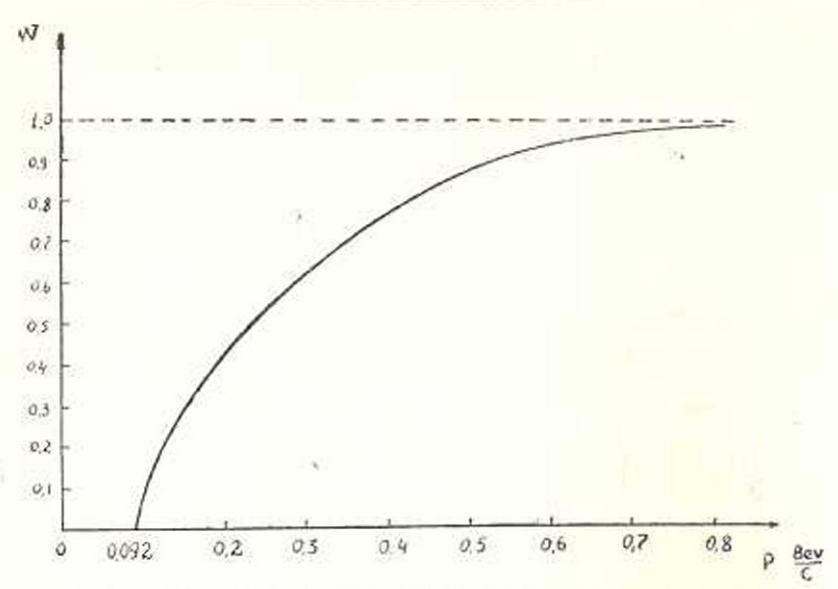
$$p_{y}^{(m)} = b \sqrt{\frac{p^{2} - p_{x}^{2}}{b^{2} + l^{2}}} \approx \frac{bp}{\sqrt{b^{2} + l^{2}}}.$$
(36)

Для действующих в настоящее время магнитных спектрометров телесный угол, охватываемый прибором, мал и практически всегда имеем дело с вертикальным потоком частиц. Внутри этого телесного угла функция углового распределения $F(p, p_x, p_y)$ почти не меняется, и излучение можно считать изотропным. Так, в случае (35), предполагая $F(p, p_x, p_y) = \text{const}$, находим

$$w_n \approx \text{const} \cdot \frac{2a(V \overline{b^2 + l^2} - l)}{b \cdot l}$$
 (37)

Значение const определяется из условия пормировки. Удобно вероятность (31) перенормировать так, чтобы $w_n = 1$

Чтобы вычисление полной вероятности w_n довести до конца, необходимо знать функцию углового распределения частиц. Если функция $F(p, p_x, p_y)$, а гакже размеры поля a, b и l заданы, то интегрирование (31) не представляет трудностей и может быть выполнено числению.



Фиг. 3. Кривая зависимости полной вероятности w_n от импульса частиц для установки с параметрами a=8 см, b=17.8 см, l=69 см и H=7200 эрствед.

На фиг. З приведена кривая вероятности w_n (p) для установки с нараметрами a=8 см, b=17.8 см, l=69 см и H=7200 эрстед. Формула (31) имеет простой геометрический смысл. В подинтегральном выражении в ней элемент телесного угла $\sin\theta d\theta d\phi = \frac{dp_x}{p \cdot p_x}$ умножен на вероятность регистрации $F(p, p_x, p_y)$ $w_1(p, p_x, p_y)$ $w_2(p, p_x, p_y)$ и интегрирован по всем дозволенным направлениям регистрации. Следовательно (31) фактически представляет собою усредненный по точкам плоскости нижнего ряда координатных счетчиков телесный угол установки. Отсюда следует, что если в (37) положить const = 1, то полученное выражение представит собою геометрический телесный угол прибора (Н=0), усредненный по точкам плоскости нижнего ряда координатных счетчиков. Таким образом, светосила усгановки представляет собою произведение величины телесного угла установки $\Omega(p)$ на площадь нижнего ряда координатных счетчиков $\Omega(p)$

В (31) не учтена эффективность координатного ряда счетчиков. Счетчики могут не фиксировать часть проходящих через них частиц, если между инми имеются щели и эффективность регистрации каждого счетчика не равна 100%. Поэтому, вообще говоря. (31) не есть полная вероятность регистрации частиц прибором. Для получения этой полной вероятности регистрации необходимо (31) умножить на вероятность регистрации, характеризующую всю систему счетчиков. Вопросы, связанные с эффективностью регистрирующей системы магнитного спектрометра, исследованы в работе [1]. Их рассмотрение возможно и имеет смысл только гля определенной установки.

В заключение выражаю благодарность Н. М. Кочаряну и Г. М. Гарибяну за ценное обсуждение этой работы.

Физический институт АН Армянской ССР

ЛИТЕРАТУРА

Котарян Н. М., Кайтмазов С. Д. Известия АН Армянской ССР (серия ФМЕТ наук), т. VII, № 2, 1954.

Գ. Ս. Սահակյան

ՄԱԳՆԻՍԱԿԱՆ ՍՊԵԿՏՐՈՄԵՏՐԻ ԼՈՒՍԱՈՒԺԻ ՄԱՍԻՆ

UUTONONFU

Հոգվածում առաջարկվում է մագնիսական ոպեկտրոմետրի լուսաուժի ծաչվման ընդհանուր մեխող։

Լուսաուժ կոչվում է ծաշվիչների կոսրդինատային շարքի մակերեսի և դործիքի վրա ընկնող լիցքավորված մասնիկների դրանցման ծավանականականության արտադրյալը։ Մասնիկների դրանցման ծավանականությունն արտահրյան արտադրյալը։ Մասնիկների դրանցման ծավանականությունն արտահրյան է (31) ֆորմուլայով։ Նա մի մեծություն է, որը ուղիղ ծաշմեմատական է դրանցվող մասնիկների փնջի մարմնային անկյանը։ Այդ Q մարմնային անկյունը ծանդիսանում է ֆունկցիա մասնիկների թ իմպուլսից։ Որոշ մինիմալ իմպուլսի դեպքում (անս ֆորմուլա 22), որը որոշվում է մադնիսական դաշաի լարվածությամը և չափերով, Ω=0։ Մասնիկշների իմպուլսի մեծացման ծետ Ω-ն մեծանում է և այնպիսի իմպուլսների դեպքում դարնական դաշան է աննջան, ձգտում է իր սածմանային արժեքին, որը որոշվում է (28) ֆորմուլայով։ (31) ֆորմուլայի մեջ մանող ինտեգրման սահմանները որոշվում են արտոցենդենա ծավասարումներից։

Մանրամասն նետադոտված է այն դեպքը, երը մազնիսի ընհաների բարձրությունը չատ մեծ է նրանց միջև եղած նեռավորությունից։ Այս դեպքում ինտեգրման սանմանների որոշումը պարդեցվում է։